

برآورد تبخیر و تعرق واقعی با استفاده از الگوریتم سبال (SEBAL) و مقایسه آن با تبخیر و تعرق استاندارد فائقو ۵۶ بهبود یافته با رابطه $K_C\text{-NDVI}$

هادی زارع خورمیزی^{۱*}، علی طولی^۲، حمیدرضا غفاریان مالمیری^۳

۱. دانشجوی دکتری علوم و مهندسی مرتع، دانشگاه تهران

۲. دانشیار گروه احیای مناطق خشک و کوهستانی، دانشکده منابع طبیعی دانشگاه تهران

۳. استادیار گروه جغرافیا، دانشگاه یزد

تاریخ پذیرش مقاله: ۱۴۰۰/۰۴/۱۲

تاریخ دریافت مقاله: ۱۳۹۹/۱۲/۰۸

چکیده

نظارت بر تغییرات مکانی و زمانی تبخیر تعرق برای مدیریت آبیاری و نیاز آبی گیاهان زراعی، بهویژه در مناطق کم آب، بسیار مهم است. هدف از پژوهش حاضر برآورد تبخیر و تعرق واقعی با استفاده از الگوریتم سبال (SEBAL) و مقایسه آن با تبخیر و تعرق استاندارد فائقو ۵۶، به منظور تعیین بالاتر پسته تحت تنش خشکی در استان یزد است. بدین منظور، از یک سری زمانی تصاویر ماهواره‌ای لندست ۸ با پانزده تصویر در سال ۲۰۱۵ استفاده شد. در ابتدا، تبخیر و تعرق در دوره‌های پانزده روزه فنولوژی پسته به دست آمد و سپس، با جمع تبخیر و تعرق در دوره‌های پانزده روزه، میزان تبخیر و تعرق در چهار مرحله اصلی فنولوژی پسته و کل یک دوره رشد سالیانه تعیین شد. تبخیر و تعرق استاندارد نیز به روش فائقو ۵۶ و با استفاده از رابطه $K_C\text{-NDVI}$ به دست آمد و به منزله استانداردی برای مقایسه تبخیر و تعرق واقعی سبال در نظر گرفته شد. براساس نتایج، الگوریتم سبال قابلیت مناسبی در تعیین میزان تبخیر و تعرق در منطقه مورد مطالعه دارد. با اینکه داده‌های معتبر لایسیمتر برای مقایسه نتایج الگوریتم سبال با آن در منطقه یادشده وجود نداشت؛ مقایسه نتایج با روش استاندارد فائقو ۵۶ نشان داد این دو روش مطابقت خوبی با یکدیگر دارند و میانگین ضریب تبیین (R^2)، خطای جذر میانگین مربعات (RMSE) و میانگین خطای مطلق (MAE) میان نتایج الگوریتم سبال و رویکرد فائقو ۵۶ به ترتیب 0.8 , 16.7 , 14.5 میلی‌متر بین دوره‌های پانزده روزه فنولوژی پسته به دست آمد. میانگین میزان تبخیر و تعرق واقعی و استاندارد در طول یک فصل رشد پسته، در سطح منطقه مورد بررسی، به ترتیب 950 و 1086 میلی‌متر است. مقایسه تبخیر و تعرق واقعی و استاندارد نشان داد، در بخش اعظم این منطقه، تبخیر و تعرق واقعی کمتر از شرایط استاندارد است.

کلیدواژه‌ها: تنش خشکی، مدیریت آبیاری، فائقو ۵۶، پسته، ضریب گیاهی.

۱- مقدمه

معمولًاً پرهزینه و وقت‌گیرند و قابلیت تعمیم به سطوح وسیع ناهمگن را ندارند (Gao et al., 2008). در نتیجه، امروزه استفاده از داده‌های ماهواره‌ای و روش‌های مبتنی بر سنجش از دور، که از یکسو این ناهمگنی و تغییرات را در نظر می‌گیرند و از سویی کم‌هزینه‌ترند و می‌توان در سطح وسیع آنها را انجام داد، با اقبال بسیار مواجه شده‌اند (کریمی و دیگران، ۱۳۹۵). به‌منظور تعیین تبخیر و تعرق با استفاده از تصاویر ماهواره‌ای، الگوریتم‌های متعددی توسعه یافته که یکی از پرکاربردترین آنها الگوریتم سبال (SEBAL)^۱ است (میرزایی و دیگران، ۱۳۹۷). سبال از الگوریتم‌های سنجش از دور است که تعادل انرژی سطحی لحظه‌ای را برای هر پیکسل از تصویر ماهواره‌ای محاسبه می‌کند (Bastiaanssen, 2000)؛ باستینسن^۲ و همکاران (۲۰۰۵) ادعا کردند که الگوریتم سبال توانسته است میزان تبخیر و تعرق روزانه و فصلی را، در چهل مطالعه انجام‌شده در ۲۵ کشور جهان، به‌ترتیب، با دقیق ۸۵٪ و ۹۵٪ تخمین بزنند. الگوریتم سبال، در ایران، طی پژوهش‌های گوناگونی ارزیابی شده است (زمانی ثانی و دیگران، ۱۳۹۶؛ کرباسی و دیگران، ۱۳۹۵؛ قمرنیا و رضوانی، ۱۳۹۳) (Rahimzadegan & Janani, 2019). نتایج این پژوهش‌ها نشان می‌دهد الگوریتم سبال، در تعیین میزان تبخیر و تعرق واقعی، دقیق مورد قبولی دارد. پژوهش‌هایی در سطح جهان نیز دقیق این الگوریتم را بررسی و ارزیابی کرده‌اند (Rawat et al., 2017; Wagle et al., 2017; Mendonça et al., 2012; Jaber et al., 2016; Jiménez-Bello et al., 2015).

نتایج این مطالعات نیز حاکی از آن است که الگوریتم سبال پتانسیل خوبی در تعیین میزان تبخیر و تعرق دارد.

-
1. Evapotranspiration
 2. Bowen ratio
 3. Eddy Covariance
 4. The Surface Energy Balance Algorithm for Land
 5. Bastiaanssen

ایران، به‌همراه کشورهای حوزه دریای مدیترانه، یکی از زیستگاه‌های اصلی پسته (*Pistacia vera* L.) در دنیا شناخته شده است (شرافتی و دیگران، ۱۳۹۲). کشور ایران، با داشتن شرایط مساعد آب‌وهوازی و سابقه طولانی در تولید پسته، جایگاه مناسبی در این زمینه برای خود فراهم آورده است. براساس گزارش فائو در سال ۱۴۰۱، ایران مهم‌ترین تولیدکننده پسته در جهان، با مساحت برداشت ۳۱۶۷۸۰ هکتار است (FAO, 2017). خشکی از مهم‌ترین عوامل محدودکننده رشد گیاه و شایع‌ترین تنفس محیطی به‌شمار می‌رود که تولید تقریباً ۲۵٪ اراضی جهان را محدود کرده است (Passioura, 2007). هرچند گیاه پسته، به‌علت تحمل بالا در برابر کم‌آبی، تولیدی با بازده متوسط دارد؛ مدیریت صحیح آبیاری در تولید دانه‌های باکیفیت بسیار مهم است (Bellvert et al., 2018).

تبخیر و تعرق (ET)^۳، که شامل تبخیر آب از سطح خاک و تعرق از پوشش گیاهی است، روندی اساسی را در چرخه هیدرولوژیکی نشان می‌دهد و عنصری کلیدی در مدیریت منابع آب در بخش کشاورزی محسوب می‌شود (Gao et al., 2008). نظارت بر تغییرات مکانی و زمانی تبخیر و تعرق واقعی با هدف مدیریت آبیاری و نیاز آبی، به‌ویژه در مناطق کم‌آب، بسیار مهم است (Bouwer et al., 2008; Kamble et al., 2013; Bezerra et al., 2015). مطالعات نشان داده‌اند که الگوهای زمانی و مکانی تبخیر و تعرق به عوامل بسیاری از جمله نوع گیاه، خاک، توپوگرافی، شرایط هواشناسی و تغییرات مکانی و زمانی محتوای رطوبت خاک بازمی‌گردد (Allen et al., 2011; Allen et al., 1998). تبخیر و تعرق روی سطوح همگن را با تکنیک‌های معمول مانند نسبت باون (BR)^۴، کواریانس ادی (EC)^۵، بیلان آب و در سطح مزرعه با استفاده از سیستم لایسیمتر می‌توان اندازه‌گیری کرد (Bala et al., 2016).

(Bastiaanssen et al., 2000)؛ در نتیجه، سنجش از دور فرصت‌هایی برای نظارت بر تغییر مکانی و زمان ضریب گیاهی ایجاد می‌کند. در این باره، پژوهش‌هایی ارتباط بین ضریب گیاهی و شاخص‌های گیاهی سنجش از دور را بررسی کرده‌اند (زارع خورمیزی و غفاریان Farg et al., 2012; Oliveira et al., 2016; Reyes-Gonzalez et al., 2015; El-Shirbeny et al., 2014). نتایج این مطالعات نشان داد بین K_c و شاخص‌های گیاهی SAVI و NDVI همبستگی بالایی وجود دارد. این همبستگی بالا بین K_c و شاخص‌های گیاهی می‌تواند در تعیین ضریب گیاهی در مناطق ناهمگن کاربرد داشته باشد.

در مطالعات متعدد، تبخیر و تعرق واقعی محصولات گوناگون با استفاده از الگوریتم سبال تعیین شده و با روش فائق پنمن-مانتیث ارزیابی شده است. با این حال، باید توجه داشت که در پژوهش‌های صورت‌گرفته از روابط K_c -NDVI کمتر برای درنظرگرفتن ناهمگنی مزارع و تولید نقشه‌های تبخیر و تعرق استاندارد استفاده شده است. در مطالعه‌ای، نقشه‌های تبخیر و تعرق جنگل‌های هیرکانی با استفاده از مدل سبال تهیه و با روش پنمن-مانتیث، ارزیابی شد. براساس نتایج این مطالعه، میانگین خطای مطلق (MAE)^۱ برآورده شده بین مقادیر تبخیر و تعرق روزانه سبال با روش پنمن-مانتیث فائق ۰.۶ و میانگین درصد اختلاف نسبی این دو پارامتر ۱۳.۵٪ به‌دست آمد (عباس‌نژاد الچین و دیگران، ۱۳۹۹). در مطالعه‌ای دیگر، تبخیر و تعرق روزانه گیاه ذرت با استفاده از الگوریتم سبال، در استان خوزستان، به‌دست آمد. نتایج این مطالعه نشان داد خطای جذر میانگین مربعات (RMSE)^۲ و میانگین خطای مطلق تبخیر و تعرق برآورده شده با الگوریتم سبال، با روش فائق پنمن-مانتیث، به ترتیب ۰.۴۵ و ۰.۱۸ میلی‌متر در روز است (ولیزاده کامران و لنگباف، ۱۳۹۷). در مطالعه‌ای، تبخیر و تعرق روزانه با استفاده از الگوریتم سبال و

1. Mean Absolute Error
2. Root Mean Square Error

از میان روش‌های غیرمستقیم تعیین تبخیر و تعرق گیاهان و محصولات زراعی و باغی، می‌توان به روش ذکر شده در نشریه فائق ۵۶ اشاره کرد. در این روش، تبخیر و تعرق پتانسیل ابتدا با استفاده از روش استاندارد پنمن-مانتیث محاسبه می‌شود و سپس، با به‌کارگیری ضریب گیاهی (K_c)، به تبخیر و تعرق واقعی گیاه تبدیل می‌شود (Allen et al., 1998). کمیسیون بین‌المللی آبیاری و زهکشی و سازمان خواربار جهانی روش فائق پنمن-مانتیث را شیوه‌ای استاندارد برای محاسبه تبخیر و تعرق، با استفاده از داده‌های اقلیمی و ارزیابی سایر روش‌ها، پیشنهاد کردند (Hargreaves, 1994). طبق دستورالعمل فائق ۵۶، می‌توان تبخیر و تعرق گیاهان را در شرایط استاندارد یا غیراستاندارد اندازه‌گیری کرد. در شرایط استاندارد، در رشد یا تراکم کشت و تعرق گیاه تحت تأثیر تنفس شوری و آبی، تراکم کشت پایین، آفات و بیماری‌های گیاهی، علف‌های هرز یا حاصلخیزی اندک خاک محدودیتی وجود ندارد (Allen et al., 1998)؛ بنابراین، این میزان تبخیر و تعرق را می‌توان استانداردی برای مقایسه الگوریتم‌های دیگر و تعیین تنفس خشکی در نظر گرفت. براساس دستورالعمل فائق ۵۶، ضریب گیاهی را می‌توان با توجه به شرایط اقلیمی، مراحل گوناگون رشد و نوع محصول، طبق جدول‌های مورد نظر تعیین کرد (Allen et al., 1998). برپایه شرایط طبیعی، ممکن است متغیرهای گوناگون پوشش گیاهی، نظری درصد بایومس و پوشش، با شرایط استاندارد نشریه فائق ۵۶ متفاوت باشد. بنابراین، دستورالعمل فائق ۵۶ به صورت نقطه‌ای و در مورد شرایطی استاندارد اجرایی است و نمی‌توان آن را در مناطق وسیع با تغییرات درصد پوشش گیاهی محصولات به‌کار برد. ضریب گیاهی با توجه به پویایی‌های پوشش گیاهی مانند شاخص سطح برگ، میزان سبزینگی و جزء پوشش گیاهی تعیین می‌شود (Farg et al., 2012). در این زمینه، داده‌های سنجش از دور را می‌توان در برآورد برخی متغیرهای کلیدی مرتبط با فنولوژی پوشش گیاهی استفاده کرد

طول جغرافیایی "۳۹°۵۳'۴۷" و "۴۷°۱۵'۰۵" از نصف‌النهار مبدأً واقع شده است. کل منطقه ۱۳۹۷۱ هکتار آن با باغات پسته پوشیده شده است. شکل ۱ موقعیت منطقه مورد مطالعه را در سطح ایران و استان یزد، به همراه موقعیت دو ایستگاه هواشناسی گاریز و ابرکوه، نشان می‌دهد. میانگین بارندگی سالیانه ایستگاه گاریز و ابرکوه به ترتیب ۶۷ و ۱۰۶ میلی‌متر است. در ایستگاه‌های هواشناسی نام‌برده، از پارامترهای دمای هوای رطوبت نسبی، سرعت باد و ساعت آفتابی به منظور محاسبه تبخیر و تعرق گیاه مرجع استفاده شد.

۲-۲-داده‌های ماهواره‌ای

در پژوهش حاضر، ابتدا از ۲۳ تصویر ماهواره لندست ۸ در سال ۲۰۱۵ م. استفاده شد تا سری زمانی یک‌ساله‌ای ایجاد شود. تصاویر مورد استفاده از پایگاه <https://earthexplorer.usgs.gov> دریافت و سپس، تصحیحات اتمسفری و هندسی آنها انجام شد. با توجه به اینکه هدف تعیین میزان تبخیر و تعرق واقعی و استاندارد در طول دوره رشد یک‌ساله پسته است، ابتدا باید داده‌های از دست‌رفته تصاویر ماهواره‌ای، با استفاده از پوشش ابر، بازسازی شوند. دو ورودی مهم در تعیین تبخیر و تعرق، با روش استاندارد فائق (K_C -NDVI) و الگوریتم سبال، دمای سطح زمین (LST) و شاخص NDVI است.

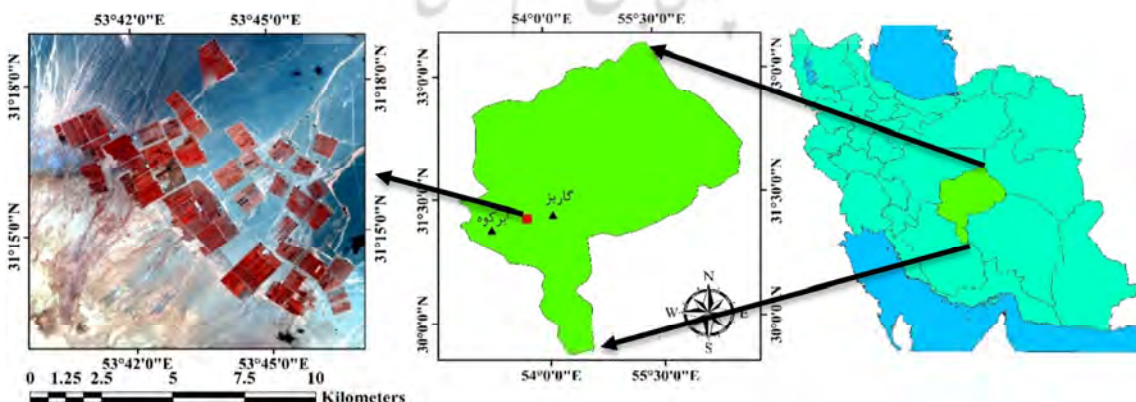
داده‌های لندست ۸ در دلتای رود نیل مصر برآورد شد. ارزیابی نتایج این مطالعه با روش فائق پمن-مانثیت خطای RMSE بین این دو روش را ۰.۴۶ میلی‌متر در روز نشان داد (Elnmer et al., 2019). طی پژوهشی در منطقه بیوانی در هاریانا، تبخیر و تعرق واقعی محصول گندم، با استفاده از الگوریتم سبال و روش استاندارد پمن-مانثیت، تخمین زده و با نتایج لایسیمتر مقایسه شد. نتایج تحقیق حاکی از آن بود که الگوریتم سبال پتانسیل خوبی برای برآورد تبخیر تعرق در منطقه مورد مطالعه دارد (Rawat et al., 2017).

هدف از پژوهش حاضر تعیین مقدار تبخیر و تعرق واقعی، با استفاده از الگوریتم سبال، در طول یک فصل رشد پسته و هدف دیگر مقایسه میزان تبخیر و تعرق واقعی حاصل از طریق الگوریتم سبال، با دستورالعمل نشریه فائق ۵۶ ارتقا یافته طبق رابطه K_C -NDVI، در مراحل گوناگون فنلوزی پسته است. نتایج این پژوهش می‌تواند به رفع برخی محدودیت‌های دستورالعمل فائق ۵۶ کمک کند و همچنین، در مدیریت آب و آبیاری و جلوگیری از تنفس خشکی در اراضی پسته مؤثر باشد.

۲- مواد و روش‌ها

۲-۱-معرفی منطقه مورد مطالعه

منطقه مطالعاتی در جنوب‌غرب استان یزد و بین عرض‌های جغرافیایی "۳۱°۱۹'۰۹" و "۳۱°۱۲'۴۷" و بین



شکل ۱. موقعیت منطقه مورد مطالعه در سطح ایران و استان یزد، به همراه موقعیت ایستگاه‌های هواشناسی گاریز و ابرکوه

رابطه (۲)

$$R = (1-\alpha)R_{S\downarrow} + R_{L\downarrow} - R_{L\uparrow} - (1-\varepsilon_0)R_{L\downarrow}$$

در این معادله، α آلبیدوی سطح و ε_0 گسیلنندگی سطح به دست آمده از طریق شاخص سطح برگ است.

۲-۳-۲- شار گرمای خاک (G)

محاسبه شار گرمای خاک با استفاده از تصاویر ماهواره‌ای مشکل است. اما مطالعات بسیاری نشان داده‌اند که بین مقدار G/R_n و پارامترهایی چون NDVI و دمای سطح (T_s) و آلبیدو رابطه‌ای وجود دارد. در روش سبال، ابتدا نسبت G/R_n در نیمروز با استفاده از معادله تجربی باستینسن (رابطه (۳)) محاسبه می‌شود

(Bastiaanssen, 2000; Allen et al., 2002)

رابطه (۳)

$$\frac{G}{R_n} = \frac{T_s}{\alpha} (0.0038\alpha + 0.0074\alpha^2)(1 - 0.98NDVI^4)$$

در این معادله، T_s دمای سطحی بر حسب درجه سانتی‌گراد، α آلبیدوی سطحی و NDVI شاخص تفاضل نرمال‌شده پوشش گیاهی است. مقدار G با ضرب کردن نسبت بالا در R_n به دست می‌آید.

۲-۳-۳-۲- شار گرمای محسوس (H)

پیچیده‌ترین مرحله در الگوریتم سبال محاسبه شار گرمای محسوس است که طبق رابطه (۴) محاسبه می‌شود.

$$H = \frac{\rho \times C_p \times dT}{R_{ah}} \quad \text{رابطه (۴)}$$

در این معادله، ρ چگالی هوا (kg/m^3)، C_p گرمای ویژه هوا (J/kg/k)، dT اختلاف دمای هوای نزدیک سطح (k) و R_{ah} مقاومت آبودینامیک برای انتقال گرما است (s/m). حل معادله شار گرمای محسوس با وجود دو مجهول (R_{ah} و dT) پیچیده است. در روش سبال، برای برآورد شار گرمای محسوس، ابتدا دو پیکسل آستانه با نام پیکسل‌های سرد و گرم انتخاب می‌شود.

بازسازی شاخص NDVI و دمای سطح زمین نیازمند سری زمانی کامل یک‌ساله است. بنابراین، نخست، از ۲۳ تصویر ماهواره لندست ۸ در سال ۲۰۱۵ استفاده و سری‌های زمانی یک‌ساله شاخص NDVI و دمای سطح زمین ایجاد شد. سپس، سری‌های زمانی ایجادشده این HANTS دو متغیر با استفاده از الگوریتم‌های SSA و بازسازی شد. با توجه به طولانی بودن بحث بازسازی داده‌های ازدست‌رفته، برای به دست آوردن اطلاعات بیشتر می‌توان به پژوهش‌ها در این زمینه مراجعه کرد (Ghafarian Malamiri et al., 2018; Ghafarian Malamiri et al., 2020 ۱۳۹۶؛ غفاریان مالمیری و زارع خورمیزی، ۱۳۹۶). پس از رفع خطاهای داده‌های ازدست‌رفته، به منظور محاسبه میزان تبخیر و تعرق، از پانزده تصویر ماهواره لندست ۸ طی تاریخ ۱۳۹۳/۰۸/۲۰ تا ۱۳۹۴/۰۱/۱۰ استفاده شد که مربوط به یک چرخه رشد سالیانه پسته است.

۲-۳- الگوریتم سبال

اساس الگوریتم سبال استفاده از معادله توازن انرژی (رابطه (۱)) و محاسبه مقدار شار لحظه‌ای گرمای نهان تبخیر است که باقی‌مانده این معادله برای هر پیکسل شمرده می‌شود (Bastiaanssen et al., 1998a, b).

رابطه (۱)

در این معادله، λET_{inst} شار گرمای نهان تبخیر (W/m^2 ، R_n میزان تابش خالص خورشیدی (W/m^2)، G شار گرمای خاک (W/m^2) و H شار گرمای محسوس (W/m^2) است.

۲-۱-۳- تابش خالص خورشیدی (R_n)

مقدار تابش خالص از توازن چهار شار تابشی در سطح زمین به دست می‌آید که عبارت‌اند از تابش طول موج کوتاه ورودی ($R_{S\downarrow}$)، بازتابش طول موج کوتاه خروجی ($R_{S\uparrow}$)، تشعشعات طول موج بلند ورودی ($R_{L\downarrow}$) و تشعشعات طول موج بلند گسیل شده از سطح ($R_{L\uparrow}$). تابش خالص لحظه‌ای در واحد سطح با استفاده از رابطه (۲) محاسبه می‌شود (Allen et al., 2002).

۶-۲-برآورد تبخیر-تعرق واقعی محصول (ET_c) براساس دستورالعمل فائو ۵۶

روش پنمن-مانتیث فائو روشی استاندارد در محاسبه تبخیر و تعرق مرجع است که بسیاری از محققان آن را تأیید کرده‌اند (Allen et al., 1998). معادله پنمن-مانتیث به صورت رابطه (۹) بیان می‌شود (Allen et al., 1998).

رابطه (۹)

$$ET_o = \frac{0.408\Delta(R_n - G) + \gamma \frac{C_n}{T + 273} U_2 (e_s - e_a)}{\Delta + \gamma(1 + C_d U_2)}$$

در این رابطه، ET_o تبخیر و تعرق مرجع (mm/day)، R_n تابش خالص در سطح گیاه (MJ/m²/day)، G شار گرمای خاک (MJ/m²/day)، T سرعت ارتفاع دومتری و برحسب درجه سانتی گراد، U₂ سرعت باد در ارتفاع دومتری (m/s)، e_s فشار بخار اشباع (kpa)، e_a فشار بخار واقعی (kpa)، Δ ضریب ثابت سایکرومتری (kpa/°C) و C_n و C_d ضرایب ثابتی است که با توجه به نوع گیاه مرجع و دوره محاسباتی تعیین می‌شود. تبخیر و تعرق استاندارد گیاه یا نیاز آبی استاندارد گیاه، با ضرب تبخیر و تعرق گیاه مرجع در ضریب گیاهی، طبق رابطه (۱۰) حاصل می‌شود (Allen et al., 1998).

$$ET_c = K_c \times ET_o \quad \text{رابطه (۱۰)}$$

ضریب گیاهی (K_c) با توجه به گونه گیاهی و دوره رشد آن تعیین می‌شود. در این زمینه، در پژوهشی، با بررسی فیزیولوژیکی گیاه پسته نشان داده شد که این گیاه سه مرحله رشد دارد (Goldhamer & Beede, 1993). مرحله اول از هنگام گردهافشانی تا زمانی را دربر می‌گیرد که پوسته بزرگ شده اما هنوز نرم است و استخوانی نشده است. رشد اندام‌های هوایی گیاه در مرحله دوم اتفاق نمی‌افتد. همچنین در این مرحله، پوسته پسته ضخیم و سفت می‌شود. در مرحله سوم، دانه پسته به تدریج با مغز پر می‌شود. سپس دانه می‌رسد و پوست آن می‌ترکد. در این مرحله، پوست نازک بیرونی آن نیز از بین می‌رود. در منطقه مطالعاتی، آغاز نخستین مرحله دوره رشد پسته

سپس، شار گرمای محسوس در روند محاسبه‌ای تکراری تصحیح می‌شود (Allen et al., 2002).

۴-۲-تبخیر و تعرق روزانه

تبخیر و تعرق براساس معادله بیلان انرژی در لحظه گذر ماهواره محاسبه می‌شود. این مقدار باید به تبخیر و تعرق روزانه تبدیل شود. برای این منظور، کسر تبخیری برای هر پیکسل تصویر طبق رابطه (۵) به دست می‌آید.

$$\Lambda = \frac{\lambda ET}{R_n - G} \Rightarrow \Lambda = \frac{R_n - G - H}{R_n - G} \quad \text{رابطه (۵)}$$

با ثابت‌فرض کردن کسر تبخیر (Λ) در دوره ۲۴ ساعته، مقدار تبخیر و تعرق ۲۴ ساعته (ET₂₄) طبق رابطه (۶) حاصل می‌شود.

$$ET_{24} = \frac{86400 \times \Lambda \times (R_n - G_{24})}{\lambda} \quad \text{رابطه (۶)}$$

مطابق این معادله، کسر تبخیر در طول روز ثابت فرض می‌شود؛ R_n تابش خالص روزانه (W/m²)، λ گرمای نهان تبخیر (J/kg) و G₂₄ شار گرمای روزانه خاک (W/m²) است.

۵-برآورد تبخیر و تعرق در دوره‌های متفاوت فنولوژی برای محاسبه تبخیر و تعرق واقعی پسته در بازه‌های زمانی متفاوت، از رابطه (۷) استفاده شد. در این معادله، ET_{a-day} تبخیر و تعرق واقعی در روز گذر ماهواره، i (ET_o)_i تبخیر و تعرق گیاه مرجع در روز i و n تعداد روزهای دوره زمانی مورد نظر است (Allen et al., 2002).

$$(ET_{a-period})_i = \frac{ET_{a-day}}{(ET_o)_i} \sum_{i=1}^n (ET_o)_i \quad \text{رابطه (۷)}$$

با تجمع تبخیر و تعرق در دوره‌های متفاوت فنولوژی پسته، مقدار تبخیر و تعرق واقعی این گیاه در یک دوره رشد کامل، با توجه به رابطه (۸)، محاسبه شد.

$$ET_{a-season} = \sum_{n=1}^N (ET_{a-period})_i \quad \text{رابطه (۸)}$$

بیشترین ضریب گیاهی (۱.۲) و خاک بدون پوشش دارای کمترین مقدار ضریب گیاهی (۰.۴) فرض شده است. این معادله مطابق رابطه (۱۱) است (Rocha et al., 2012; Zare & Koch, 2017; Inamdar et al., 2016; (De Oliveira et al., 2009

$$K_C = 1.25 \times NDVI + 0.2 \quad (11)$$

باید توجه داشت این رابطه درمورد مناطق خشک و نیمهخشک ایران صدق نمی‌کند زیرا، از یکسو، هیچ‌گاه پوشش گیاهی پسته با توجه به فواصل کاشت به مقدار $NDVI^{0.8}$ نمی‌رسد و مزارعی مانند گندم و یونجه تقریباً بیشترین $NDVI^{0.8}$ را دارند (Rocha et al., 2012). از دیگرسو، شرایط اقلیمی منطقه (درصد رطوبت و سرعت باد) در این رابطه لحاظ نشده است. به عبارت دیگر، K_C دو مزرعه با $NDVI$ یکسان، اما یکی در منطقه مرطوب و دیگری در اقلیم خشک، کاملاً متفاوت است. بنابراین، در این پژوهش ضریب تعديل K_C فائق، که برای مناطق خشک و نیمهخشک در دور میانی و پایانی رشد در نظر گرفته شده بود، با رابطه (۱۱) جمع شد. K_C نهایی را می‌توان به صورت رابطه (۱۲) تعریف کرد که به منزله معیاری استاندارد در تعیین تنش آبی به کار رفته است.

$$\text{رابطه (۱۲)}$$

$$K_C = (1.25NDVI + 0.2)$$

$$+ [0.04(u_2 - 2) - 0.004(RH_{min} - 45)] \left[\frac{h}{3} \right]^{0.3}$$

در این رابطه، u_2 میانگین صورت باد روزانه در ارتفاع دومتری طی کل مرحله رشد یا مراحل رشد میانی یا پایانی (طبق بازه زمانی مورد استفاده) و RH_{min} نیز میانگین حداقل رطوبت نسبی روزانه در کل مرحله رشد یا مراحل رشد میانی یا پایانی است. این ضریب به صورت میانگین در کل یک دوره رشد، برای منطقه مورد مطالعه، ۰.۱۸۶ است. بنابراین، رابطه نهایی در منطقه مورد نظر، با توجه به اقلیم خشک آن و میانگین سرعت باد و میانگین حداقل رطوبت نسبی، مطابق رابطه (۱۳) است.

$$K_C = 1.25NDVI + 0.386 \quad (13)$$

نیمه فروردین و پایان دوره سوم انتهای شهریور بود اما تأمین نیاز آبی این گیاه به همین دوره محدود نمی‌شود بلکه در دوره برداشت محصول و در دوره پس از برداشت نیز به آبیاری مداوم نیاز دارد. بنابراین، دوره برداشت و پس از برداشت به منزله چهارمین مرحله فنولوژی در نظر گرفته شد (دستورانی و دیگران، ۱۳۹۱). بدین ترتیب، انتهای آبان هر سال انتهای دوره رشد این گیاه محسوب می‌شود.

۷-۲- تعیین ضریب گیاهی

ضریب گیاهی پیشنهادی طبق دستورالعمل نشریه فائق، برای پسته، در مراحل رشد اولیه و مرحله میانی و پایانی رشد، به ترتیب ۰.۴۵ و ۰.۱۱ و ۰.۴۵ است (Allen et al., 1998). این ضرایب متعلق به شرایط استاندارد و در منطقه نیمه‌مرطوب با میانگین سرعت باد ۲ متر بر ثانیه است. بنابراین، ضریب یادشده باید، طبق شرایط مزرعه مورد مطالعه، اصلاح شود. این اصلاحات با استفاده از روابط بیان شده در دستورالعمل فائق ۰.۵۶ در هریک از سه مرحله رشد انجام شد.

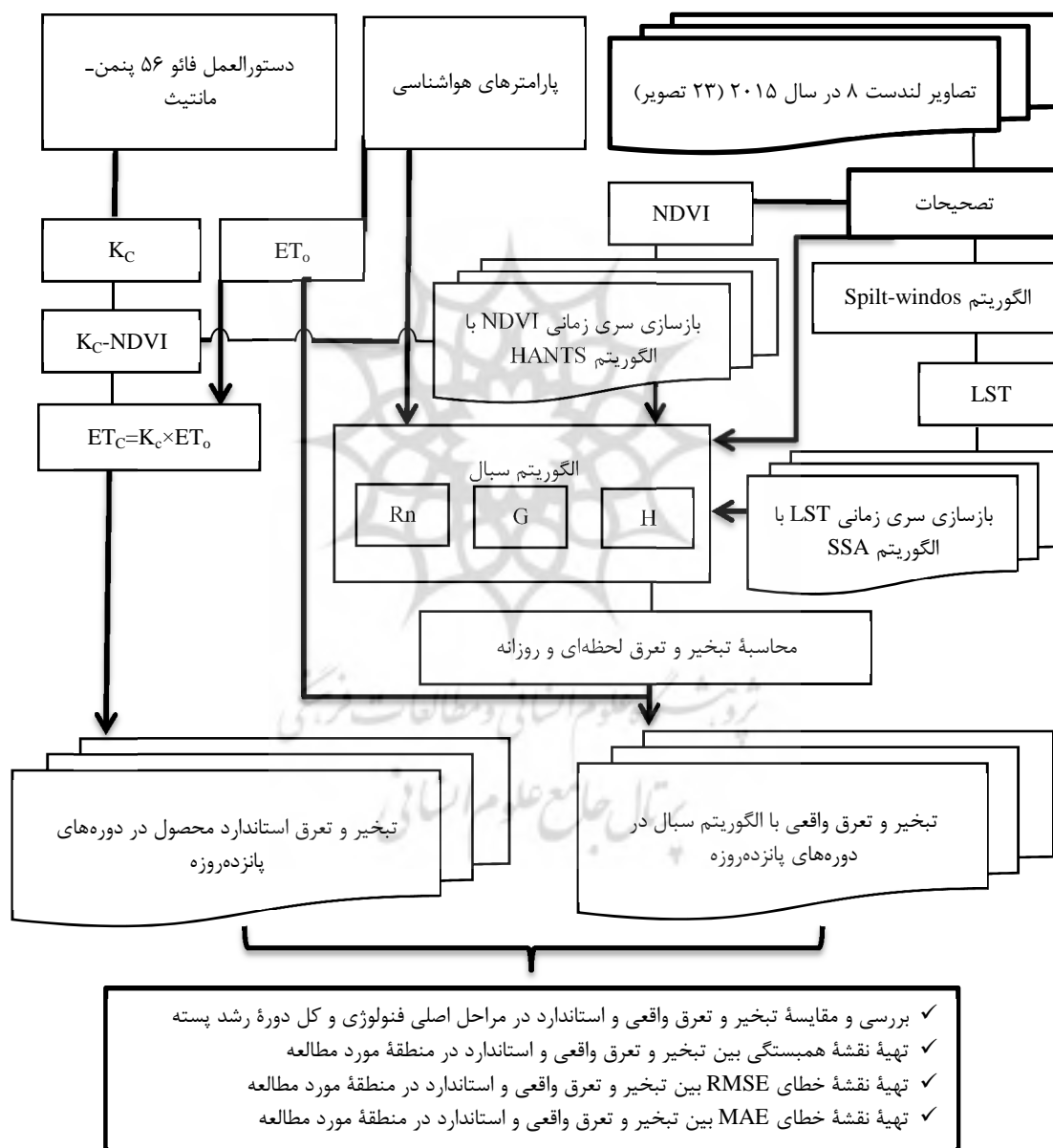
۸-۲- تعیین رابطه K_C -NDVI

براساس شرایط طبیعی در باغات پسته، متغیرهای گوناگون پوشش گیاهی همچون درصد تاج‌پوشش و سن گیاه ممکن است با شرایط استاندارد نشریه فائق ۰.۵۶ متفاوت باشد. بنابراین، K_C به دست آمده طبق دستورالعمل فائق ۰.۵۶ به صورت نقطه‌ای و در شرایطی استاندارد اجرایی است و نمی‌توان آن را در مناطق وسیع با تغییرات درصد پوشش گیاهی به کار برد. پژوهشگران برای رفع این مشکل از رابطه بین K_C و شاخص‌های گوناگون پوشش گیاهی Farg et al., 2012; Oliveira et al., 2016; El-Shirbeny et al., 2014; Reyes-Gonzalez et al., 2015

با توجه به بررسی منابع، در زمینه K_C گیاه پسته و شاخص‌های گیاهی سنجش از دور رابطه‌ای تعیین نشده است. اما رابطه‌ای عمومی و کلی در این زمینه وجود دارد؛ به این صورت که $NDVI$ با مقدار ۰.۸ دارای

از محاسبه تبخیر و تعرق واقعی و استاندارد در دوره‌های پانزده روزه فنولوژی پسته، با جمع میزان تبخیر و تعرق طی این دوره‌ها، میزان تبخیر و تعرق در مراحل اصلی فنولوژی پسته و کل دوره رشد سالیانه محاسبه شد. روندnamای مراحل پژوهش حاضر در شکل ۲ نشان داده شده است.

پس از محاسبه میزان تبخیر و تعرق واقعی روزانه در تاریخ‌های گذر ماهواره لندست ۸، میزان تبخیر واقعی در دوره‌های زمانی پانزده روزه فنولوژی پسته به دست آمد. همچنین، طبق روش فائو ۵۶ پنمن-مانتیث و استفاده از رابطه $K_c\text{-NDVI}$ ، مقدار تبخیر و تعرق استاندارد در دوره‌های زمانی پانزده روزه تعیین شد. پس



شکل ۲. روندnamای کلی مراحل پژوهش

$$MAE = \frac{1}{n} \sum_{i=1}^n |X_i - y_i| \quad \text{رابطه (18)}$$

۳- نتایج و بحث

۱-۳- بررسی میزان تبخیر و تعرق با رویکرد فائو ۵۶ جدول ۱ مراحل گوناگون فنولوژی و تاریخ وقوع آنها و نیز ضریب گیاهی، تبخیر و تعرق گیاه مرجع و استاندارد را در سال ۲۰۱۵ نشان می‌دهد. فنولوژی پسته را به صورت کلی می‌توان به پانزده مرحله پانزده روزه تقسیم کرد (دستورانی و دیگران، ۱۳۹۱، ۲۰۰۵). بدطور کلی در منطقه مورد مطالعه، میزان تبخیر و تعرق گیاه مرجع طی سال ۲۰۱۵ برابر با ۱۷۲۶ میلی‌متر است. میزان تبخیر و تعرق گیاه پسته در شرایط استاندارد با رویکرد فائو ۵۶، ۱۵۸۱ میلی‌متر است. با توجه به جدول ۲، تقریباً ۵۰٪ تبخیر و تعرق در مرحله سوم فنولوژی و ۷۸٪ تبخیر و تعرق در مرحله دوم و سوم آن رخ می‌دهد زیرا پسته، در این دو مرحله، به حداقل رشد و سبزینگی و درصد پوشش می‌رسد؛ بنابراین، ضرایب گیاهی آن افزایش خواهد یافت. از سوی دیگر در این دو مرحله، با توجه به اقلیم خشک منطقه، تبخیر و تعرق گیاه مرجع به شدت افزایش خواهد یافت.

۴-۲- ارزیابی نتایج

به منظور ارزیابی نتایج و همچنین تفکیک و تعیین تفاوت‌های بین تبخیر و تعرق واقعی و استاندارد و شناسایی مناطق تحت تنشی خشکی، از خطای جذر میانگین مربعات و میانگین خطای مطلق و ضریب تبیین بین مقادیر تبخیر و تعرق واقعی و استاندارد استفاده شد. ضریب تبیین با استفاده از رابطه (۱۴) بدست آمد.

$$R^2 = 1 - \frac{SS_{err}}{SS_{tot}} \quad \text{رابطه (14)}$$

در این رابطه، SS_{tot} و SS_{err} طبق روابط (۱۵) و (۱۶) محاسبه می‌شود.

$$SS_{err} = \sum_{i=1}^n (x_i - y_i)^2 \quad \text{رابطه (15)}$$

$$SS_{tot} = \sum_{i=1}^n (x_i - \bar{x})^2 \quad \text{رابطه (16)}$$

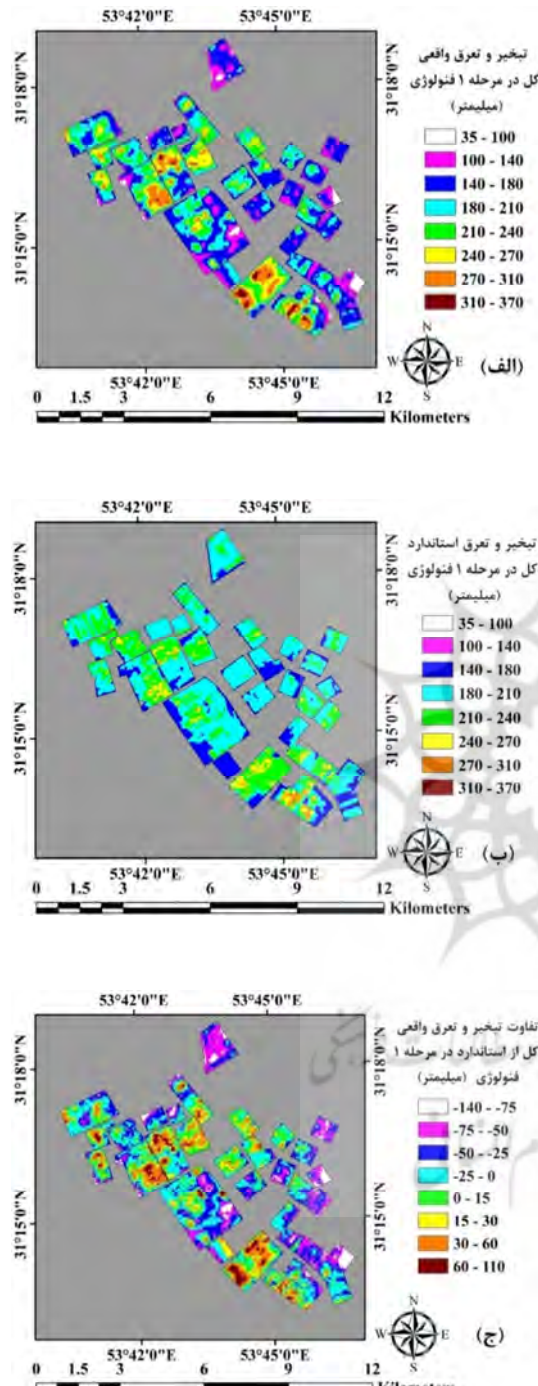
و MAE و $RMSE$ نیز با استفاده از روابط (۱۷) و (۱۸) محاسبه شد. در این روابط، x_i و y_i به ترتیب داده‌های تبخیر و تعرق واقعی سبال و داده‌های تبخیر و تعرق استاندارد هستند.

$$RMSE = \sqrt{\frac{\sum_{i=1}^n (x_i - y_i)^2}{n}} \quad \text{رابطه (17)}$$

جدول ۱. چهار مرحله اصلی فنولوژی پسته و دوره‌های پانزده روزه فنولوژی به همراه ضرایب C_C و تبخیر و تعرق گیاه مرجع

مرحله	فنولوژی	دوره وقوع	C_C	ET_c (mm)	ET_c (mm)	$\sum ET_c$ (mm)
مرحله ۱	گل‌دهی	۱۵ تا ۳۱ فوریه	۰.۳	۱۰۵.۹	۳۱.۷	۱۶۰
	حضور برگ	۱ تا ۱۵ اردیبهشت	۰.۴۳	۱۱۰.۹	۴۷.۷	
	حجیم‌شدن پوست	۱۶ تا ۳۱ اردیبهشت	۰.۶۸	۱۱۸.۵	۸۰.۶	
مرحله ۲	استخوانی‌شدن پوست	۱ تا ۱۵ خرداد	۰.۹۳	۱۳۶.۶	۱۲۷.۰	۴۷۵.۵
	استخوانی‌شدن پوست	۱۶ تا ۳۱ خرداد	۱.۱	۱۵۵.۷	۱۷۱.۳	
	استخوانی‌شدن پوست	۱ تا ۱۵ تیر	۱.۱۷	۱۵۴.۰	۱۸۰.۲	
مرحله ۳	پرشدن دانه	۱۶ تا ۳۱ تیر	۱.۲۰	۱۵۰.۰	۱۸۰.۱	۷۶۱.۸
	پرشدن دانه	۱ تا ۱۵ مرداد	۱.۲۰	۱۳۲.۱	۱۵۸.۶	
	پرشدن و خندان‌شدن دانه	۱۶ تا ۳۱ مرداد	۱.۲۰	۱۴۷.۴	۱۷۶.۹	
	خندان‌شدن دانه	۱ تا ۱۵ شهریور	۱.۱۲	۱۲۶.۳	۱۴۱.۵	
	ترکیدن پوست نازک بیرونی	۱۶ تا ۳۱ شهریور	۱	۱۰۴.۶	۱۰۴.۷	
مرحله ۴	برداشت	۱ تا ۱۵ مهر	۰.۸۷	۹۳.۵	۸۱.۳	۱۸۳.۸
	پس از برداشت	۱۶ تا ۳۰ مهر	۰.۶۷	۸۴.۷	۵۶.۸	
	پس از برداشت	۱ تا ۱۵ آبان	۰.۵۰	۵۸.۲	۲۹.۱	
	پس از برداشت	۱۶ تا ۳۰ آبان	۰.۳۵	۴۷.۴	۱۶.۶	
	جمع	۱۷۲۶		۱۵۸۱	۱۵۸۱	۱۵۸۱

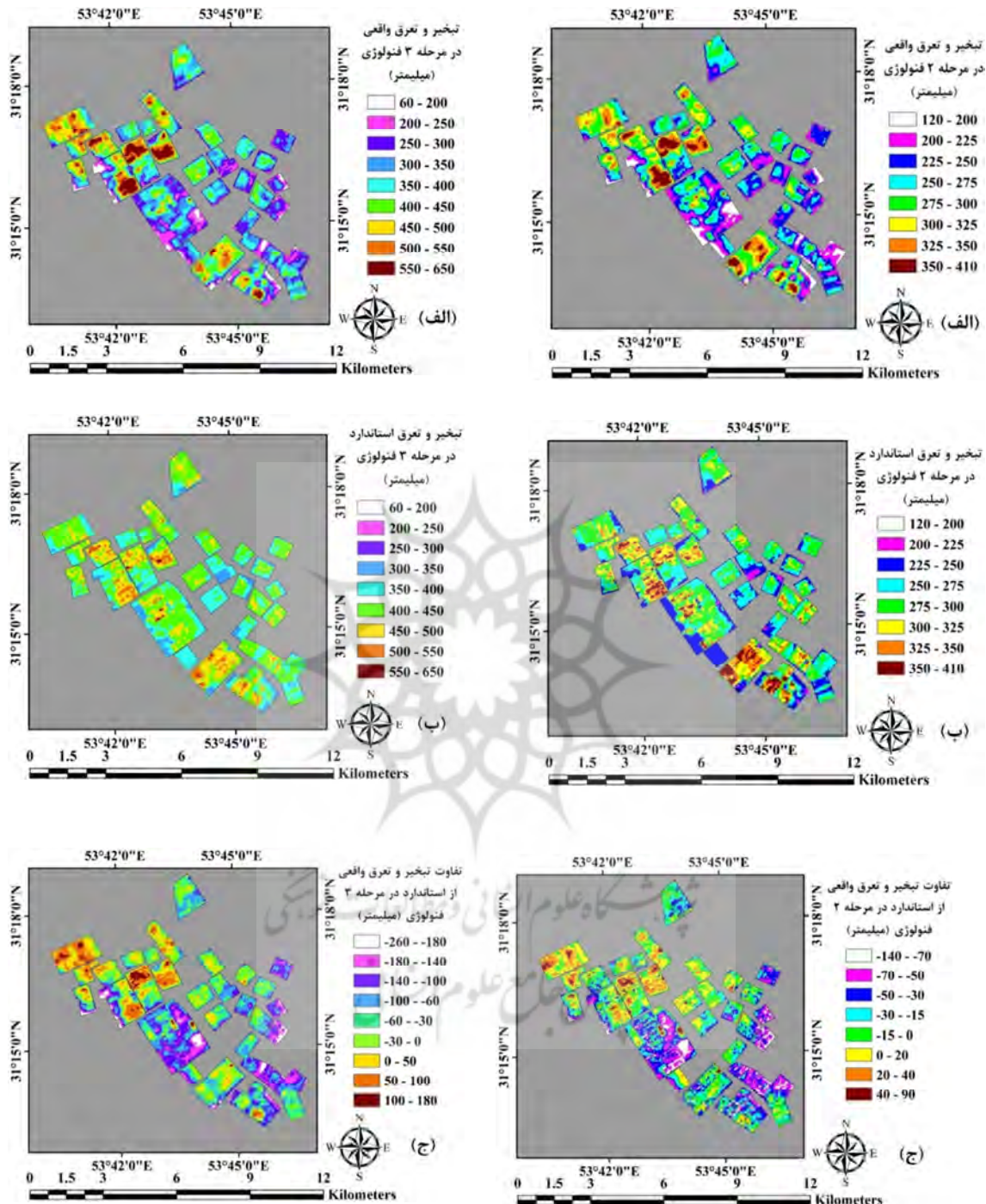
هادی زارع خورمیزی و همکاران



شکل ۳. مجموع میزان تبخیر و تعرق واقعی سیال (الف)، تبخیر و تعرق استاندارد (ب) و اختلاف آنها (ج) در دوره ۱۵ فروردین تا ۳۱ اردیبهشت (مرحله اول فنولوژی)

۲-۳- بررسی و مقایسه تبخیر و تعرق واقعی با استاندارد رویکرد محاسبه تبخیر و تعرق استاندارد با توجه به نشریه فاؤ ۵۶ فقط در مردم مزارع استاندارد با پوشش یکنواخت می‌تواند مفید باشد (مانند پوشش یکنواخت گندم). با توجه به گستردگی منطقه مورد مطالعه و همچنین تغییرات سن، درصد پوشش و ارتفاع درختان پسته، تبخیر و تعرق واقعی را نمی‌توان با یک مقدار استاندارد (مانند جدول ۱) مقایسه کرد (زارع خورمیزی و غفاریان مالمیری، ۱۳۹۹). بنابراین، همان‌طور که در بخش مواد و روش‌ها توضیح داده شد، رابطه K_C با شاخص NDVI به کار رفت. در نتیجه، نقشه K_C برای NDVI هر دوره پانزده روزه فنولوژی با توجه به میزان NDVI تهیه شد و سپس، با درنظر گرفتن تبخیر و تعرق گیاه مرجع، میزان تبخیر و تعرق استاندارد برای هر پیکسل تصویر در دوره‌های پانزده روزه به دست آمد. بعد از آن، با جمع تبخیر و تعرق در دوره‌های پانزده روزه، میزان تبخیر و تعرق در دوره‌های اصلی فنولوژی حاصل شد. در ادامه، میزان تبخیر و تعرق واقعی به دست آمده از طریق الگوریتم سبال و میزان تبخیر و تعرق استاندارد به دست آمده با رویکرد K_C -NDVI و نیز اختلاف آنها در هریک از چهار مرحله اصلی فنولوژی به ترتیب در شکل‌های ۳ تا ۶ نشان داده شده است. باید توجه داشت که، برای تعیین اختلاف تبخیر و تعرق، همواره نقشه تبخیر و تعرق واقعی از استاندارد در هریک از دوره‌ها و مراحل کسر شده است. بنابراین، مناطق با مقادیر مشت دارای شرایط نرمال و بدون تنفس خشکی‌اند و مناطق با مقادیر منفی همان مناطق تحت تنفس خشکی شمرده می‌شوند. به طور کلی و با توجه به شکل‌های ۳ تا ۶، در برخی از دوره‌های فنولوژی و در برخی باغات پسته، میزان تبخیر و تعرق واقعی از تبخیر و تعرق استاندارد کمتر است که وجود شرایط تنفس خشکی در آن مکان و زمان را نشان می‌دهد.

برآورد تبخیر و تعرق واقعی با استفاده از الگوریتم سبال (SEBAL)



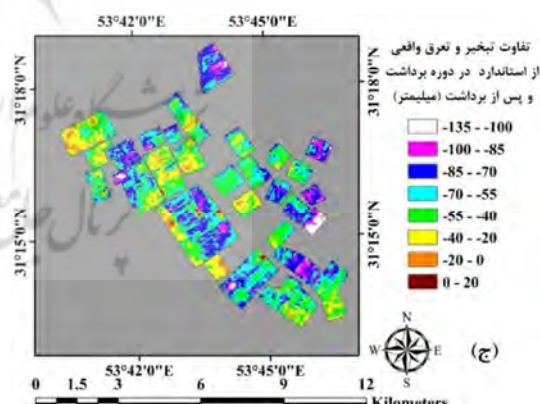
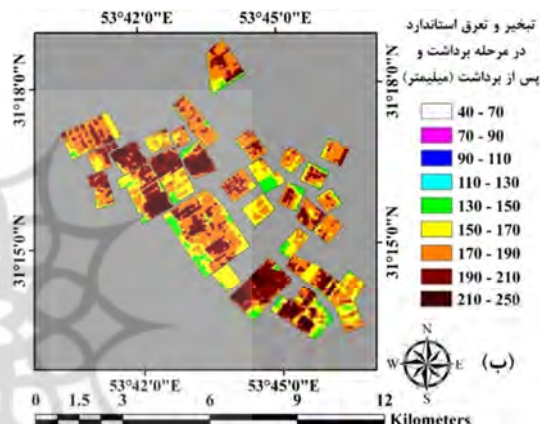
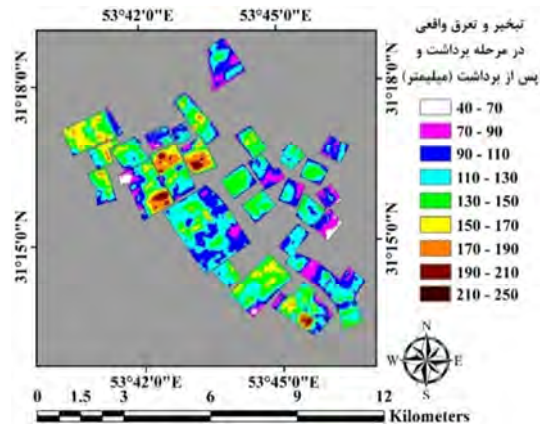
شکل ۵. مجموع میزان تبخیر و تعرق واقعی سبال (الف)، تبخیر و تعرق استاندارد (ب) و اختلاف آنها (ج) در دوره ۱۶ تیر تا ۳۱ شهریور (مرحله سوم فنولوژی)

شکل ۴. مجموع میزان تبخیر و تعرق واقعی سبال (الف)، تبخیر و تعرق استاندارد (ب) و اختلاف آنها (ج) در دوره ۱ خرداد تا ۱۵ تیر مرحله دوم فنولوژی

۳-۳ مقایسه تبخیر و تعرق واقعی و استاندارد در طول یک فصل رشد پسته

شکل ۷ میزان تبخیر و تعرق واقعی و استاندارد و همچنین اختلاف آنها را در طول یک فصل رشد پسته نشان می‌دهد. با توجه به این شکل، تقریباً حداقل میزان تبخیر و تعرق واقعی و استاندارد ۱۶۲۰ میلی‌متر طی یک فصل رشد بوده که با الگوریتم سبال تخمين زده شده است. با توجه به جدول ۲، حداقل تبخیر و تعرق استاندارد در طول یک فصل رشد، با رویکرد فائق (بدون رابطه $K_C\text{-NDVI}$)، ۱۵۸۱ میلی‌متر به دست آمد. این نتایج نشان می‌دهد رابطه $K_C\text{-NDVI}$ ، در مناطق دارای درصد پوشش گیاهی نزدیک به شرایط استاندارد فائق، ۵۶٪ به درستی عمل کرده و بیشترین مقدار تبخیر و تعرق حاصل از رابطه $K_C\text{-NDVI}$ به مقدار استاندارد فائق (۱۵۸۱ میلی‌متر) بسیار نزدیک است. میانگین میزان تبخیر و تعرق واقعی و استاندارد در سطح منطقه مورد بررسی به ترتیب ۹۵۰ و ۱۰۸۶ میلی‌متر است. مقایسه تبخیر و تعرق واقعی و استاندارد (شکل ۷) نشان می‌دهد، در بخش بزرگی از منطقه مورد مطالعه، تبخیر و تعرق واقعی پایین‌تر از شرایط استاندارد است که نشان از تنفس خشکی در طول دوره رشد در این مناطق دارد.

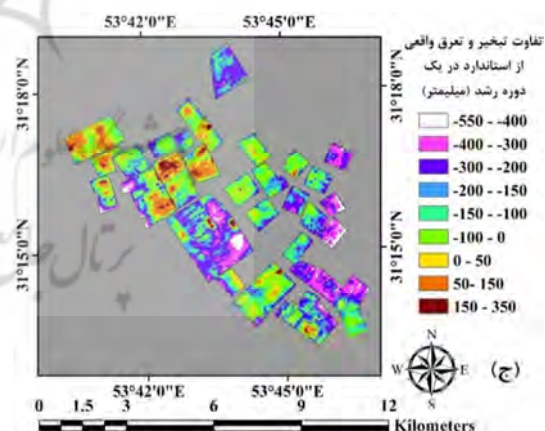
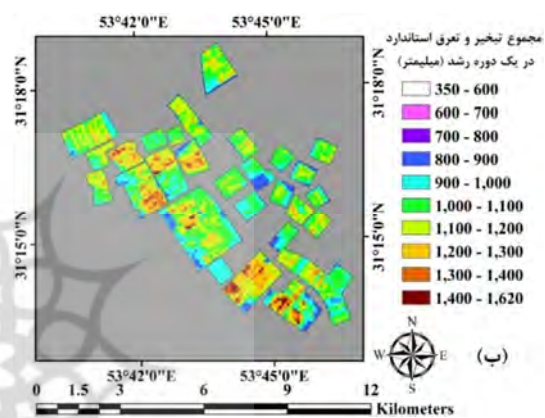
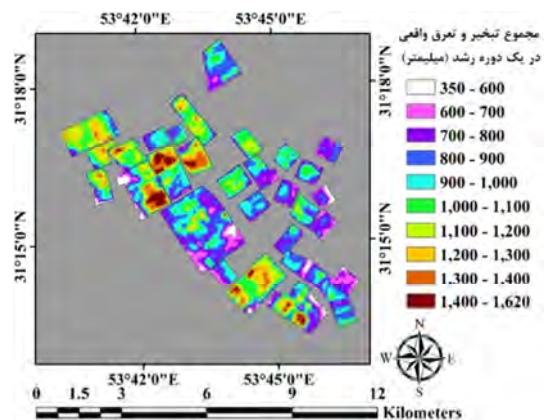
جدول ۲ مساحت و درصد از کل مساحت را در هریک از کلاس‌های طبقه‌بندی شده در نقشه‌های شکل ۷ نشان می‌دهد. تبخیر و تعرق واقعی ۷۷.۸٪ از سطح منطقه مورد مطالعه، در یک فصل رشد کامل، بین ۷۰۰ تا ۱۲۰۰ میلی‌متر است. با توجه به نقشه تبخیر و تعرق استاندارد فائق با رابطه $K_C\text{-NDVI}$ ، باید تبخیر و تعرق ۱۲۰۰٪ سطح منطقه مورد مطالعه بین ۹۰۰ تا ۱۲۰۰ میلی‌متر باشد. همچنین، در ۷۰٪ سطح این منطقه در یک فصل رشد، تبخیر بین ۰ تا ۳۰۰ میلی‌متر و تعرق آن کمتر از شرایط استاندارد است.



شکل ۶. مجموع میزان تبخیر و تعرق واقعی سبال (الف)، تبخیر و تعرق استاندارد (ب) و اختلاف آنها (ج) در دوره ۱ مهر تا ۳۰ آبان (مرحله چهارم فنولوژی)

میانگین و انحراف معیار میزان تبخیر و تعرق واقعی از تبخیر و تعرق استاندارد، طی دوره‌های پانزده‌روزه در سطح کل مزارع، در شکل ۸ (سمت راست) نشان داده شده است. این شکل چند نکته مهم را می‌رساند؛ اول اینکه، در دوره زمانی شانزدهم خرداد تا پانزدهم مرداد، به طور میانگین تقریباً میزان تبخیر و تعرق واقعی به مقدار استاندارد نزدیک شده و در دوره اول اردیبهشت تا پانزدهم خرداد و از اول مرداد تا پایان فصل رشد، میزان تبخیر و تعرق واقعی از تبخیر و تعرق استاندارد کمتر است. دومین نکته این است که انحراف معیار تبخیر و تعرق واقعی، در مقایسه با استاندارد، در دوره‌های پانزده‌روزه بیشتر است. این موضوع یکنواخت‌نبودن آبیاری و مدیریت آبیاری در سطح کل منطقه را نشان می‌دهد؛ به طوری که در برخی مناطق هدررفت آب و در برخی مناطق کمبود آب مشاهده می‌شود.

مجموع میزان تبخیر و تعرق واقعی و تبخیر و تعرق استاندارد در چهار مرحله اصلی فنولوژی و کل فصل رشد، به صورت میانگین در سطح کل مزارع پسته، در شکل ۸ (سمت چپ) نشان داده شده است. با توجه به شکل، در دوره ۱۵ تا ۳۱ اردیبهشت و اول خرداد تا پانزدهم تیر، تقریباً به صورت میانگین، میزان مجموع تبخیر و تعرق واقعی و استاندارد یکسان بوده است. در دوره ۱۶ تا ۳۱ شهریور، تبخیر و تعرق واقعی از استاندارد ۱۱.۵ کمتر بوده و انحراف معیار نیز افزایش یافته که نشان‌دهنده فقدان مدیریت آبیاری در سطح کل منطقه است. در مرحله برداشت و پس از برداشت (اول مهر تا سی ام آبان) نیز، تبخیر و تعرق واقعی کمتر از استاندارد است. مجموع میزان تبخیر و تعرق استاندارد در یک دوره رشد پسته، به صورت میانگین، در سطح منطقه ۱۰۸۶ میلی‌متر است؛ در صورتی که میانگین میزان تبخیر و تعرق واقعی در سطح کل مزارع ۹۵۰ میلی‌متر است. میزان تبخیر و تعرق پسته در منابع گوناگون، با توجه به شرایط اقلیمی و مدیریت آبی مزرعه، متفاوت ذکر شده (دستورانی و دیگران، ۱۳۹۱) و به مقادیر ۸۰۰، ۶۰۰، ۱۰۱۸ میلی‌متر در برخی پژوهش‌های خارج از ایران اشاره شده است (Ulha et al., 2005).



شکل ۷. مجموع میزان تبخیر و تعرق واقعی سبال (الف)، تبخیر و تعرق استاندارد (ب) و اختلاف آنها (ج) در دوره ۱۵ فروردین تا ۳۰ آبان (کل دوره رشد)

هادی زارع خورمیزی و همکاران

جدول ۲. مساحت و درصد مساحت هریک از کلاس‌های تبخیر و تعرق واقعی و استاندارد و نیز اختلاف آنها (با توجه به شکل ۷)

درصد مساحت از کل	تفاوت تبخیر و تعرق واقعی با استاندارد				نقشه تبخیر و تعرق استاندارد فائقو (K _C -NDVI)				نقشه تبخیر و تعرق واقعی سبال
	مساحت (هکتار)	کلاس (mm)	درصد مساحت از کل	مساحت (هکتار)	کلاس (mm)	درصد مساحت از کل	مساحت (هکتار)	کلاس (mm)	
۲.۴	۷۴.۸	-۵۵۰--۴۰۰	۰	۰	۳۵۰-۶۰۰	۲.۵	۷۷.۵	۳۵۰-۶۰۰	
۹.۷	۳۰۴.۸	-۴۰۰--۳۰۰	۰	۰	۶۰۰-۷۰۰	۷.۰	۲۱۹.۳	۶۰۰-۷۰۰	
۲۰.۰	۶۲۹.۵	-۳۰۰--۲۰۰	۰	۰	۷۰۰-۸۰۰	۱۵.۴	۴۸۵.۵	۷۰۰-۸۰۰	
۱۳.۷	۴۳۲.۴	-۲۰۰--۱۵۰	۵.۴	۱۷۰.۶	۸۰۰-۹۰۰	۱۸.۹	۵۹۳.۴	۸۰۰-۹۰۰	
۱۴.۷	۴۶۲.۶	-۱۵۰--۱۰۰	۲۰.۵	۶۴۶.۵	۹۰۰-۱۰۰۰	۱۸.۳	۵۷۷.۲	۹۰۰-۱۰۰۰	
۲۲.۳	۷۳۴.۷	-۱۰۰--۰	۳۰.۸	۹۶۹.۳	۱۰۰۰-۱۱۰۰	۱۵.۰	۴۷۱.۱	۱۰۰۰-۱۱۰۰	
۶.۸	۲۱۵.۵	۰--۵۰	۲۵.۵	۸۰۳.۶	۱۱۰۰-۱۲۰۰	۱۰.۵	۳۲۹.۰	۱۱۰۰-۱۲۰۰	
۷.۸	۲۴۴.۱	۵۰--۱۵۰	۱۲.۵	۳۹۵.۳	۱۲۰۰-۱۳۰۰	۶.۶	۲۰۸.۴	۱۲۰۰-۱۳۰۰	
۱.۵	۴۸.۰	۱۵۰-۳۵۰	۴.۲	۱۳۲.۰	۱۳۰۰-۱۴۰۰	۴.۰	۱۲۴.۶	۱۳۰۰-۱۴۰۰	
-	-	-	۱.۰	۳۳.۰	۱۴۰۰-۱۶۲۰	۱.۹	۶۰.۷	۱۴۰۰-۱۶۲۰	

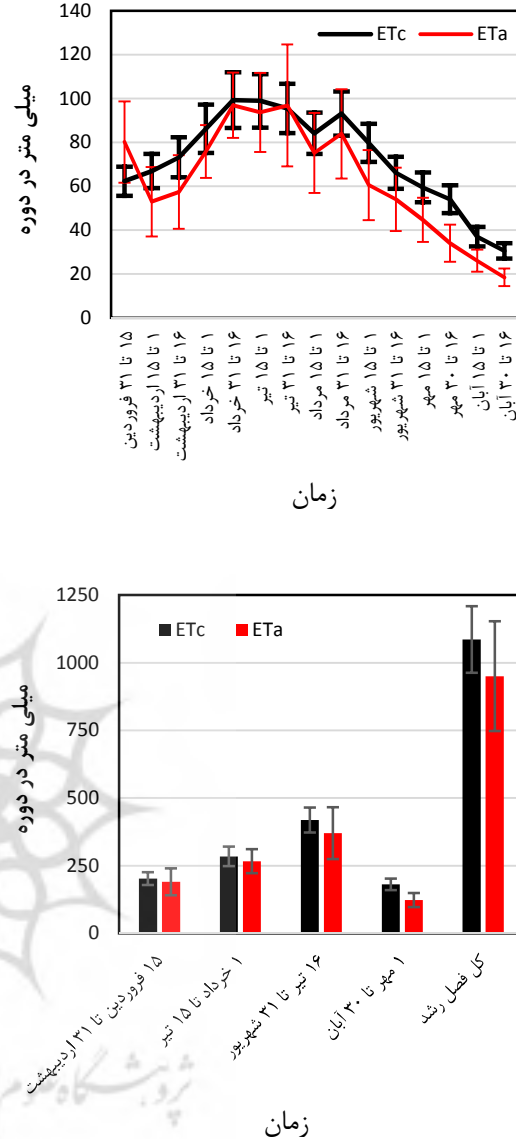
بسیار بیشتر از برآورد حاصل از تجزیه و تحلیل تعادل آب خاک (۷۵۹ میلی‌متر) بود. این تفاوت را می‌توان به این واقعیت نسبت داد که تجزیه و تحلیل تعادل آب خاک برای ۱.۲ متر بالای خاک انجام شده؛ در حالی که ریشه‌های درختان پسته از آب لایه پایین نیز استفاده می‌کنند (Rahimian et al., 2014). در مطالعه‌ای دیگر در استان یزد، مشخص شد که بیش از ۶۰٪ باغ‌های پسته مروست مصرف آب فصلی ۴۱۰ تا ۶۸۰ میلی‌متر (با میانگین ۵۹۴ میلی‌متر) دارند؛ در حالی که ET_C تجمعی و ET_C پسته، در مدت مشابه، ۱۵۵۸ میلی‌متر و ۹۲۰ میلی‌متر بود. به عبارت دیگر، درختان پسته این منطقه تحت تنش خشکی قرار دارند که باعث کاهش عملکرد محصول می‌شود (Rahimian et al., 2019).

مقایسه تبخیر و تعرق واقعی با استاندارد نشان می‌دهد، در بیشتر منطقه مورد مطالعه، تبخیر و تعرق واقعی از شرایط استاندارد پایین‌تر است. بنابراین، باید توجه داشت که در برخی بخش‌های منطقه مورد مطالعه شرایط تنش خشکی برقرار است. در سایر مطالعات نیز، با استفاده از الگوریتم سبال، تبخیر و تعرق پسته تخمین زده شده و مناطق تحت تنش خشکی مشخص شده است. در مطالعه‌ای در منطقه اردکان یزد، میزان تبخیر و تعرق استاندارد فائقو واقعی، با استفاده از الگوریتم سبال، به ترتیب ۵۶ و ۱۳۷۵ و ۱۱۳۳ میلی‌متر به دست آمد (دستورانی و دیگران، ۱۳۹۱). در منطقه باغات پسته اردکان یزد، تبخیر و تعرق پسته در فصل رشد سال ۲۰۱۲، با استفاده از الگوریتم سبال، ۱۲۷۵ میلی‌متر تخمین زده شد که

و RMSE و MAE بین مقدار تبخیر و تعرق واقعی اندازه‌گیری شده طبق الگوریتم سبال، با تبخیر و تعرق استاندارد اندازه‌گیری شده با رویکرد K_C -NDVI فائق، نشان می‌دهد الگوریتم سبال توانسته میزان تبخیر و تعرق واقعی را به خوبی اندازه‌گیری کند و این دو روش با هم مطابقت خوبی دارند. به طور میانگین، میزان ضریب همبستگی، خطای RMSE و MAE بین تبخیر و تعرق واقعی و استاندارد به ترتیب ۰.۸ و ۱۶.۷ و ۱۴.۵ میلی‌متر بین دوره‌های پانزده‌روزه است. البته باید توجه داشت مقایسه تبخیر و تعرق واقعی با استاندارد فائق نمی‌تواند میزان خطا در تعیین تبخیر و تعرق واقعی با استفاده از الگوریتم سبال را نشان دهد زیرا برای به دست آوردن تبخیر و تعرق واقعی با رویکرد فائق ۵۶٪ علاوه‌بر درنظر گرفتن ضریب گیاهی (K_C)، باید ضریب تنش (K_S) را هم در نظر گرفت. نکته دوم این است که، در شکل ۹، مناطق دارای بالاترین میزان ضریب تبیین (R^2) و کمترین میزان خطای RMSE و MAE نشان داده شده است. این مناطق به شرایط استاندارد نزدیک‌اند، آبیاری آنها مناسب و تنش خشکی در آنها حداقل است. اما مناطق و مزارع دارای همبستگی پایین و خطای RMSE و MAE بالا تحت تنش خشکی قرار دارند و آبیاری و میزان تبخیر و تعرق این مناطق از شرایط استاندارد فاصله دارد.

۴- نتیجه‌گیری

در پژوهش حاضر، مقدار تبخیر و تعرق واقعی با استفاده از الگوریتم سبال، در طول یک سال و نیز یک فصل رشد پسته، تعیین شد. سپس میزان تبخیر و تعرق واقعی حاصل از الگوریتم سبال با دستورالعمل نشریه فائق ۵۶٪، با رویکرد K_C -NDVI، در مراحل گوناگون فنولوزی پسته مقایسه شد. نتایج این پژوهش نشان داد الگوریتم سبال قابلیت مناسبی به منظور تعیین تبخیر و تعرق در منطقه مورد مطالعه دارد. هرچند در این منطقه داده‌های معتبر (لایسیمتر) برای مقایسه با نتایج الگوریتم سبال موجود نبود؛ مقایسه این نتایج با روش



شکل ۸. مقایسه میانگین و انحراف معیار میزان تبخیر و تعرق واقعی از تبخیر و تعرق استاندارد، طی دوره‌های پانزده‌روزه، در سطح کل مزارع (راست) و مجموع میزان تبخیر و تعرق واقعی و تبخیر و تعرق استاندارد در چهار مرحله اصلی فنولوزی و کل فصل رشد (چپ)

۳-۴- بررسی ضریب همبستگی و خطای RMSE و MAE بین تبخیر و تعرق واقعی و استاندارد

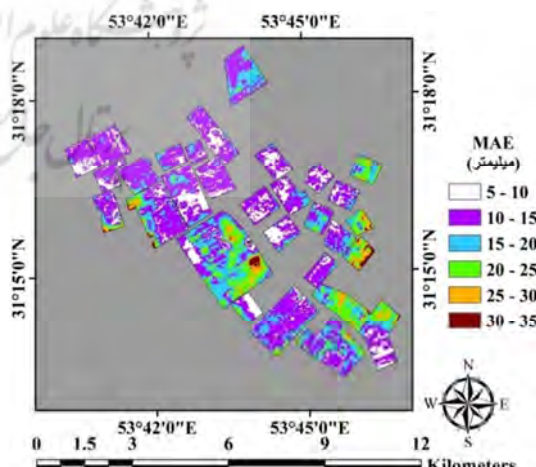
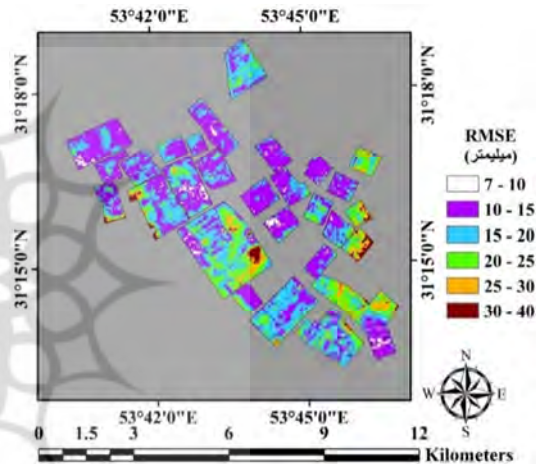
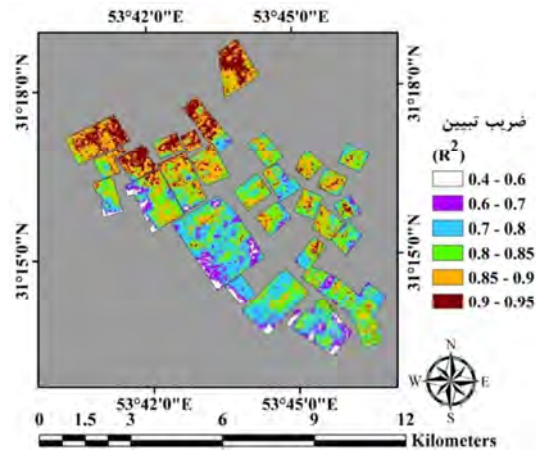
نقشه میزان همبستگی (R^2) و خطای RMSE و MAE بین تبخیر و تعرق واقعی و استاندارد در شکل ۹ نشان داده شده است. این شکل چند نکته مهم را بیان می‌کند. اول اینکه میزان همبستگی بالا و خطای پایین

استاندارد فائق ۵۶ نشان داد این دو روش مطابقت خوبی با یکدیگر دارند و بدین ترتیب، میانگین میزان ضریب تبیین، MAE و RMSE بین نتایج الگوریتم سبال و رویکرد فائق K_C -NDVI به ترتیب، میانگین میزان ضریب میلی متر بین دوره های پانزده روزه (مقدار و RMSE) و MAE روزانه ۱.۱ و ۰.۹۶ فنولوژی پسته به دست آمد. همچنین، باید توجه داشت که میزان تبخیر و تعرق استاندارد با روش فائق ۵۶ همواره تبخیر و تعرق واقعی محصول را ارائه نمی دهد زیرا ممکن است عواملی مانند تنفس آبی و شوری منجر به کاهش میزان تبخیر و تعرق محصول شود. برای رفع این مشکل، باید ضریب تنفس (K_S) نیز در نظر گرفته شود. با درنظر گرفتن ضریب تنفس در تبخیر و تعرق با روش فائق ۵۶، می توان تبخیر و تعرق واقعی محصول را بدست آورد. بنابراین، مقایسه تبخیر و تعرق واقعی سبال با تبخیر و تعرق استاندارد به روش فائق ۵۶ معیاری برای نزدیک شدن به شرایط استاندارد آبیاری است و نمی توان آن را معیاری مطلق برای ارزیابی تبخیر و تعرق واقعی الگوریتم سبال محاسب کرد؛ مگر اینکه ضریب تنفس نیز در نظر گرفته شود.

۵- منابع

دستورانی، م، پورمحمدی، س، رحیمیان، م.ح، ۱۳۹۱،
تخمین تبخیر- تعرق واقعی باغات پسته
منطقه اردکان به کمک سنجش از دور، پژوهش
آب در کشاورزی، دوره اول، شماره ۲۶، صص. ۱-۱۳.
زارع خورمیزی، ۵، غفاریان مالمیری، ح.ر، ۱۳۹۹،
تخمین ضریب گیاهی و رابطه K_C -NDVI
گیاه پسته (*Pistacia vera L.*) با بهره گیری از
سنجش از دور در حاشیه کویر ابرکوه یزد،
مدیریت بیابان، دوره هشتم، شماره ۱۵، صص.
۱۰۱-۱۲۰.

زارع خورمیزی، ۵، حسینی، س.ز، مختاری م.ح، غفاریان
مالمیری، ح، ۱۳۹۶، بازسازی سری های زمانی
MODIS سنجنده NDVI با استفاده از



شکل ۹. نقشه میزان همبستگی، RMSE و MAE بین تبخیر و تعرق واقعی و استاندارد

- (دشت میان دربند)، نشریه آب و خاک، دوره بیست و هشتم، شماره ۱، صص. ۷۲-۸۱.
- کرباسی، م.، مقدم، م.، نیکبخت، ج.، کاویانی، ع.، ۱۳۹۵، تخمین تبخیر و تعرق واقعی گیاه با استفاده از الگوریتم سبال (مطالعه موردی: منطقه خرمدره در استان زنجان)، اکوهیدرولوژی، دوره سوم، شماره ۳، صص. ۴۲۷-۴۳۷.
- کریمی، ع.، فرهادی پاسوله، ب.، حصادی، ۵.، ۱۳۹۵، برآورده تبخیر و تعرق واقعی با استفاده از الگوریتم سبال و تصاویر لندست در ماهیدشت، نشریه آب و خاک، دوره سی‌ام، شماره ۳، صص. ۷۰۶-۷۱۶.
- میرزایی، ف.، کشاورز، م.، وظیفه‌دوست، م.، ۱۳۹۷، توسعه الگوریتم SM-SEBAL به منظور محاسبه تبخیر و تعرق واقعی به کمک سنجش از دور، فصلنامه علمی-پژوهشی مهندسی منابع آب، دوره یازدهم، شماره ۳۸، صص. ۱۰۷-۱۲۸.
- ولیزاده کامران، خ.، لنگباف، م.، برآورده تبخیر-تعرق واقعی ذرت با استفاده از پردازش تصاویر ماهواره‌ای و مدل سبال در منطقه خوزستان، نشریه علمی جغرافیا و برنامه‌ریزی، دوره بیست و دوم، شماره ۶۵، صص. ۲۸۷-۲۹۹.
- Allen, R.G., Pereira, L.S., Raes, D. & Smith M., 1998, *Crop Evapotranspiration: Guidelines for Computing Crop Requirements*, Irrigation and Drainage Paper, No. 56, FAO, Rome, Italy.
- Allen, R.G., Waters, R., Tasumi, M., Trezza, R. & Bastiaanssen, W., 2002, *SEBAL, Surface Energy Balance Algorithms for Land, Idaho Implementation*, Advanced Training and Users Manual, Version 1.0.
- Allen, R.G., Pereira, L.S., Howell, T.A. & Jensen, M.E., 2011, *Evapotranspiration Information Reporting: I. Factors Governing Measurement Accuracy*, Agricultural Water Management, 98, PP. 899-920.
- الگوریتم تجزیه و تحلیل هارمونیک سری‌های زمانی (HANTS) (مطالعه موردی: استان یزد)، برنامه‌ریزی و آمایش فضای دوره بیست و یکم، شماره ۳، صص. ۲۲۱-۲۵۵.
- زمانی ثانی، ا.، خورانی، ا.، صادقی لاری، ع.، سدیدی، ج.، ۱۳۹۶، ارزیابی برآورده تبخیر-تعرق گیاه گندم با استفاده از الگوریتم سبال (مطالعه موردی: ایستگاه تحقیقات کشاورزی شهرستان حاجی‌آباد)، پژوهش‌های جغرافیای طبیعی، دوره چهل و نهم، شماره ۴، صص. ۶۶۷-۶۸۱.
- شرفاتی، ع.، ارزانی، ک.، رمضانی مقدم، م.، ۱۳۹۲، ارزیابی گل‌دهی و میوه‌دهی دوازده رقم پسته (*Pistacia vera* L.) در شرایط آب و هوایی خراسان، بهزادی نهال و بذر، دوره بیست و نهم، شماره ۲، صص. ۲۴۳-۲۵۶.
- عباس‌نژاد چین، ا.، درویش‌صفت، ع.ا.، بذرافشان، ج.، ۱۳۹۹، تهییه و ارزیابی نقشه‌های تبخیر و تعرق براساس داده‌های ماهواره لندست ۸ و مدل SEBAL در جنگل‌های هیرکانی (مطالعه موردی: جنگل‌های پل‌سفید و کیاسر)، نشریه جنگل و فراورده‌های چوب، دوره هفتاد و سوم، شماره ۳، صص. ۲۵۹-۲۷۰.
- غفاریان مالمیری، ح.، زارع خورمیزی، ۵.، ۱۳۹۶، بازسازی سری‌های زمانی داده‌های ماهواره‌ای دمای سطح زمین با استفاده از الگوریتم تجزیه و تحلیل هارمونیک سری‌های زمانی (HANTS)، سنجش از دور و سامانه اطلاعات جغرافیایی در منابع طبیعی، دوره هشتم، شماره ۳، صص. ۳۷-۵۵.
- قمرنیا، ه.، رضوانی س.و.، ۱۳۹۳، محاسبه و پنهان‌بندی تبخیر و تعرق با استفاده از الگوریتم سبال (SEBAL) در غرب ایران

- Bala, A., Rawat, K.S., Misra, A.K. & Srivastava, A., 2016, **Assessment and Validation of Evapotranspiration Using SEBAL Algorithm and Lysimeter Data of IARI Agricultural Farm, India.** Geocarto International, 31(7), PP. 739-764.
- Bastiaanssen, W.G.M., 2000, **SEBALbased Sensible and Latent Heat Fluxes in the Irrigated Gediz Basin, Turkey,** Journal of Hydrology, 229, PP. 87-100.
- Bastiaanssen, W.G., Menenti, M., Feddes, R.A. & Holtslag, A.A.M., 1998a, **A Remote Sensing Surface Energy Balance Algorithm for Land (SEBAL). 1. Formulation,** Journal of Hydrology, 212, PP. 198-212.
- Bastiaanssen, W.G., Pelgrum, H., Wang, J., Ma, Y., Moreno, J.F., Roerink, G.J. & Van der Wal, T., 1998b, **A Remote Sensing Surface Energy Balance Algorithm for Land (SEBAL): Part 2: Validation,** Journal of Hydrology, 212, PP. 213-229.
- Bastiaanssen, W.G.M., Molden, D.J. & Makin, I.W., 2000, **Remote Sensing for Irrigated Agriculture: Examples from Research and Possible Applications,** Agricultural Water Management, 46 (2), PP. 137-155.
- Bastiaanssen, W.G.M., Noordman, E.J.M., Pelgrum, H., Davids, G., Thoreson, B.P. & Allen, R.G., 2005, **SEBAL Model with Remotely Sensed Data to Improve Water-Resources Management Under Actual Field Conditions,** Journal of Irrigation and Drainage Engineering, 131(1), PP. 85-93.
- Bellvert, J., Adeline, K., Baram, S., Pierce, L., Sanden, B. & Smart, D., 2018, **Monitoring Crop Evapotranspiration and Crop Coefficients over an Almond and Pistachio Orchard throughout Remote Sensing,** Remote Sensing, 10(12), PP. 2001.
- Bezerra, B.G., Santos, C.A.C., Silva, B.B., Perez-Marin, A.M., Bezerra, M.V.C., Bezerra, J.R.C. & Ramana Rao, T.V., 2013, **Estimation of Soil Moisture in the Root-Zone from Remote Sensing Data,** Revista Brasileira de Ciência do Solo, 37, PP. 595-603.
- Bezerra, B.G., Silva, B.B., Santos, C.A.C.D. & Bezerra, J., 2015, **Actual Evapotranspiration Estimation Using Remote Sensing: Comparison of SEBAL and SSEB Approaches,** Advances in Remote Sensing, 4(3), PP. 234-247.
- Bouwer, L.M., Biggs, T.W. & Aerts, C.J.H., 2008, **Estimates of Spatial Variation in Evaporation Using Satellite-Derived Surface Temperature and a Water Balance Model,** Hydrological Processes, 22, PP. 670-682.
- De Oliveira, A.S., Trezza, R., Holzapfel, E.A., Lorite, I. & Paz, V.P.S., 2009, **Irrigation Water Management in Latin America,** Chilean Journal of Agricultural Research, 69(1), PP. 7-16.
- Elnmer, A., Khadr, M., Kanae, S. & Tawfik, A., 2019, **Mapping Daily and Seasonally Evapotranspiration Using Remote Sensing Techniques over the Nile Delta,** Agricultural Water Management, 213, PP. 682-692.
- El-Shirbeny, M.A., Ali, A.M., Badr, M.A. & Bauomy, E.M., 2014, **Assessment of Wheat Crop Coefficient Using Remote Sensing Techniques,** World Research Journal of Agricultural Sciences, 1(2), PP. 12-17.
- FAOSTAT, 2017, **FAO Statistics Database,** <http://faostat3.fao.org/faostat-gateway/go/to/download/Q/QC/E>. Accessed 20 Jan 2017.
- Farg, E., Arifat, S.M., El-Wahed, M.A. & El-Gindy, A.M., 2012, **Estimation of Evapotranspiration ETc and Crop Coefficient KC of Wheat, in South Nile Delta of Egypt Using Integrated FAO-56 Approach and Remote Sensing Data,** The Egyptian Journal of Remote Sensing and Space Science, 15(1), PP. 83-89.
- Gao Y., Long D. & Li Z.L., 2008, **Estimation of Daily Actual Evapotranspiration from Remotely Sensed Data under Complex Terrain over the Upper Chao River Basin in North China,** International Journal of Remote Sensing, 29 (11), PP. 3295-3315.
- Ghafarian Malamiri, H., Rousta, I., Olafsson, H., Zare, H. Zhang, H., 2018, **Gap-Filling of**

- MODIS Time Series Land Surface Temperature (LST) Products Using Singular Spectrum Analysis (SSA), Atmosphere**, 9(9), PP. 334.
- Ghafarian Malamiri, H.R., Zare, H., Rousta, I., Olafsson, H., Izquierdo Verdiguier, E., Zhang, H. & Mushore, T.D., 2020, **Comparison of Harmonic Analysis of Time Series (HANTS) and Multi-Singular Spectrum Analysis (M-SSA) in Reconstruction of Long-Gap Missing Data in NDVI Time Series**, *Remote Sensing*, 12(17), P. 2747.
- Goldhamer, D.A., 2005, **Tree Water Requirements and Regulated Deficit Irrigation**, Pistachio Production Manual, 4, PP. 103-116.
- Goldhamer, D.A. & Beede., R., 1993, **Results of Four Years of Regulated Deficit Irrigation on Deep Rooted Pistachio Trees**, Annual Report of the California Pistachio Industry, Crop Year 1992-93, California Pistachio Commission, Fresno, CA 107-110.
- Hargreaves, G.H., 1994, **Defining and Using Reference Evapotranspiration**, *Journal of Irrigation and Drainage Engineering*, 120 (6), PP. 1132-1139.
- Inamdar, P., Singh, T.P., Metha, K. & Kumbhar, V., 2016, **Assessment of Irrigation and Agriculture Potential of the Krishna River Basin using Geospatial Techniques**, *Indian Journal of Science and Technology*, 9(44), PP. 1-9.
- Jaber, H.S., Mansor, S., Pradhan, B. an&d Ahmad, N., 2016, **Evaluation of SEBAL Model for Evapotranspiration Mapping in Iraq Using Remote Sensing and GIS**, *International Journal of Applied Engineering Research*, 11, PP. 3950-3955.
- Jiménez-Bello, M.Á., Castel, J.R., Testi, L. & Intrigliolo, D.S., 2015., **Assessment of a Remote Sensing Energy Balance Methodology (SEBAL) Using Different Interpolation Methods to Determine Evapotranspiration in a Citrus Orchard**, *IEEE Journal of Selected Topics in Applied Earth Observations and Remote Sensing*, 8(4), PP. 1465-1477.
- Kamble, B., Irmak, A., Hubbarb, K. & Gowda, P., 2013, **Irrigation Scheduling Using Remote Sensing Data Assimilation Approach**, *Advances in Remote Sensing*, 2, PP. 258-268.
- Long, D., Singh, V.P. & Li, Z.L., 2011, **How Sensitive is SEBAL to Changes in Input Variables, Domain Size and Satellite Sensor?**, *Journal of Geophysical Research: Atmospheres*, 116 (D21).
- Mendonça, J.C., Sousa, E.D., André, R.G.B., Silva, B.D. & Ferreira, N.D.J., 2012, **Assessment of Evapotranspiration in North Fluminense Region, Brazil, using Modis Products and Sebal Algorithm**, *Evapotranspiration-Remote Sensing and Modeling*, 1, PP. 1-18.
- Oliveira, T.C.D., Ferreira, E. & Dantas, A.A.A., 2016, **Temporal Variation of Normalized Difference Vegetation Index (NDVI) and Calculation of the Crop Coefficient (K_c) from NDVI in Areas Cultivated with Irrigated Soybean**, *Ciência Rural*, 46(9), PP. 1683-1688.
- Passioura, J.B., 2007, **The Drought Environment Physical, Biological and Agricultural Perspectives**, *Journal of Experimental Botany*, 58, PP. 113-117.
- Paul, G., Gowda, P.H., Vara Prasad, P.V., Howell, T.A., Staggenborg, S.A. & Neale, C.M., 2013, **Lysimetric Evaluation of SEBAL Using High Resolution Airborne Imagery from BEAREX08**, *Advances in Water Resources*, 59, PP. 157-168.
- Rahimian, M.H., Taghvaeian, S., Nouri, M.R., Tabatabaei, S.H., Mokhtari, M.H., Hasheminejad, Y. & Neshat, E., 2014, **Estimating Pistachio Evapotranspiration Using MODIS Imagery: A Case Study from Ardakan, Iran**, In *World Environmental and Water Resources Congress*, 2014, PP. 1784-1794.
- Rahimian, M.H., Shayannejad, M., Eslamian, S., Gheysari, M. & Jafari, R., 2019, **Daily and Seasonal Pistachio Evapotranspiration in**

- Saline Condition: Comparison of Satellite-Based and Ground-Based Results**, Journal of the Indian Society of Remote Sensing, 47(5), PP. 777-787.
- Rahimzadegan, M. & Janani, A., 2019, **Estimating Evapotranspiration of Pistachio Crop Based on SEBAL Algorithm Using Landsat 8 Satellite Imagery**, Agricultural Water Management, 217, PP. 383-390.
- Rawat, K.S., Bala, A., Singh, S.K. & Pal, R.K., 2017, **Quantification of Wheat Crop Evapotranspiration and Mapping: A Case Study from Bhiwani District of Haryana, India**, Agricultural Water Management, 187, PP. 200-209.
- Reyes-Gonzalez, A., Hay, C., Kjaersgaard, J. & Neale, C., 2015, **Use of Remote Sensing to Generate Crop Coefficient and Estimate Actual Crop Evapotranspiration**, In 2015 ASABE Annual International Meeting (P. 1), American Society of Agricultural and Biological Engineers.
- Rocha, J., Perdigão, A., Melo, R. & Henriques, C., 2012, **Remote Sensing Based Crop Coefficients for Water Management in Agriculture**, Sustainable Development-Authoritative and Leading Edge Content for Environmental Management, PP. 167-192.
- Ruhoff, A.L., Paz, A.R., Collischonn, W., Aragao, L.E., Rocha, H.R. & Malhi, Y.S., 2012, **A MODIS-Based Energy Balance to Estimate Evapotranspiration for Clear-Sky Days in Brazilian Tropical Savannas**, Remote Sensing, 4(3), PP. 703-725.
- Ulna, M., Kanber, R., Steduto, P., Aydin, Y. & Dlker, K., 2005, **Effects of Different Water and Nitrogen Levels on the Yield and Periodicity of Pistachio**, Turkish Journal of Agriculture and Forestry, 29, PP. 39-49.
- Wagle, P., Bhattacharai, N., Gowda, P. Kakani, V., 2017, **Performance of Five Surface Energy Balance Models for Estimating Daily Evapotranspiration in High Biomass Sorghum**, ISPRS Journal of Photogrammetry and Remote Sensing, 128, PP. 192-203.
- Zare, M. & Koch, M., 2017, **Computation of the Irrigation Water Demand in the Miandarband Plain, Iran, Using FAO-56-and Satellite-Estimated Crop Coefficients**, Journal of Thai Interdisciplinary Research, 12(3), PP. 15-25.



سنجش از دور

، ایران GIS

سنجش از دور و GIS ایران سال سیزدهم، شماره سوم، پاییز ۱۴۰۰
Vol.13, No. 3, Autumn 2021 Iranian Remote Sensing & GIS

73-92



Estimation of Actual Evapotranspiration Using SEBAL Algorithm and Comparison with Improved FAO 56 Standard Evapotranspiration with K_c-NDVI Relationship

Zare khormizi H.^{1*}, Tavili A.², Ghafarian Malamiri H.R.³

1. Ph.D. Student of Range Management, Faculty of Natural Resources, University of Tehran
2. Associate Prof., Dep. of Rehabilitation of Arid and Mountainous, Faculty of Natural Resources, University of Tehran
3. Assistant Prof., Dep. of Geography, Yazd University

Abstract

Monitoring the spatial and temporal variations of evapotranspiration is crucial for irrigation management and the crop water requirement, especially in arid and semi-arid areas. The purpose of the present study is to estimate the actual evapotranspiration using the SEBAL algorithm and compare it with the FAO 56 standard evapotranspiration to determine pistachio orchards under drought stress in Yazd province. To do so, Landsat 8 satellite images time series with 15 images in 2015 were used. At first, actual evapotranspiration was calculated in 15 days of pistachio phenology and then by summation of evapotranspiration in 15 days, total evapotranspiration was determined in four main stages of pistachio phenology covering the whole period of annual growth. The FAO 56 standard evapotranspiration was also obtained by using the K_c-NDVI relationship as the standard for comparing with actual evapotranspiration. Based on the results, SEBAL algorithm has an acceptable capability to determine the evapotranspiration rate in the study area. However, due to lack of valid lysimeter data in the study area, It was not possible to validate the results of the SEBAL algorithm. But comparing the results with the FAO 56 standard method showed that the two methods are in good agreement with each other. In average, the coefficient determination, RMSE and MAE between the results of SEBAL algorithm and FAO K_c-NDVI approach were 0.8, 16.7 mm and 14.5 mm, respectively, for the 15-day of pistachio phenology stages. The average of actual and standard evapotranspiration rates during a pistachio growing season at the study area were 950 and 1086 mm, respectively. Comparison of actual and standard evapotranspiration shows that in most of the study area actual evapotranspiration is lower than standard conditions.

Keywords: Drought stress, Irrigation management, FAO 56, Pistachio, Crop coefficient.

Correspondence Address: Faculty of Natural Resources, College of Agriculture & Natural Resources, University of Tehran, Daneshkadeh Ave., Karaj. Tel: +989137078631
Email: hadi.zarekh@gmail.com